AEROGAMAESPECTROMETRIA – IMAGEM DE COMPOSIÇÃO TERNÁRIA RGB COM FUSÃO SRTM (K-eTh-eU)

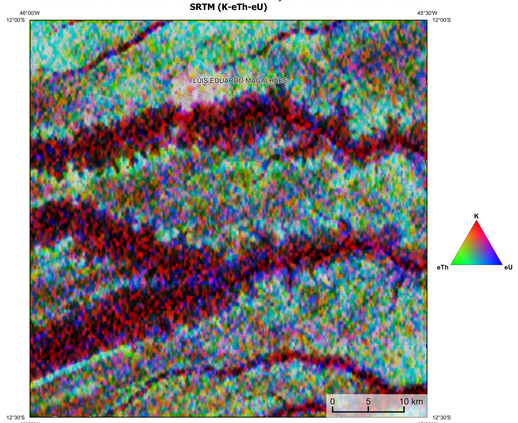

Mostra a variação das concentrações relativas dos três radioelementos relacionando-os com as cores vermelho (R-red) (K,%), verde (G-green) (eTh, ppm) e azul (B-blue) (eU, ppm). O espectro de cores varia desde o branco, quando coincidente as mínimas concentrações relativas nos três radioelementos, até o preto, para os mínimos teores relativos.

AEROMAGNETOMETRIA - PRODUTO COM FUSÃO SRTM E DECONVOLUÇÃO DE EULER

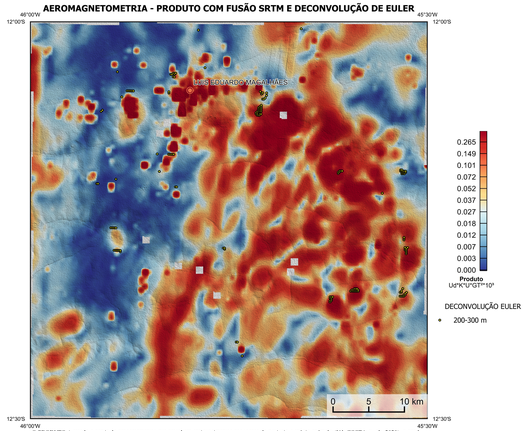

O PRODUTO é gerado a partir de processamentos que ressaltam enriquecimentos nos teores de potássio e urânio anômalo (Ul; COSTA et. al., 2020), o produto entre o potássio e o gradiente total (kgrav/GT), e o produto entre o urânio e o gradiente total (uUGT). Os produtos entre o gradiente total e o potássio/urânio ressaltam o aumento da susceptibilidade magnética associada aos elevados valores destes radioelementos. O PRODUTO pode ser formulado matematicamente como: LØ*Kgrav/(uUØGT); onde altos valores (em vermelho) representam a alta associação entre os produtos. Todos os produtos foram previamente normalizados entre 0 e 1 para previnir diferença de peso entre os processamentos. A deconvolução Euler utiliza derivadas do campo magnético anômalo para estudar a geometria das fontes magnetométricas localizadas em subsuperfície. Neste trabalho foi empregado o índice 1 para a deconvolução de Euler com o intuito de realçar as estruturas lineares magnéticas das áreas.

MODELO DIGITAL DO TERRENO E BASE CARTOGRÁFICA COM A IDENTIFICAÇÃO DAS ESTAÇÕES GEOQUÍMICAS DE SEDIMENTOS DE CORRENTE

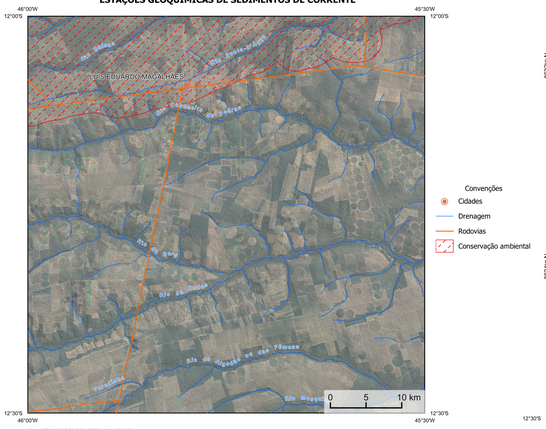

IMAGEM GOOGLE EARTH - MAIO 2024.

LOCALIZAÇÃO DA FOLHA

ARTICULAÇÃO DA FOLHA

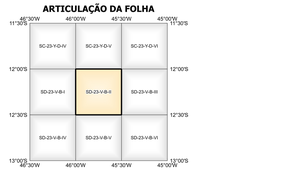

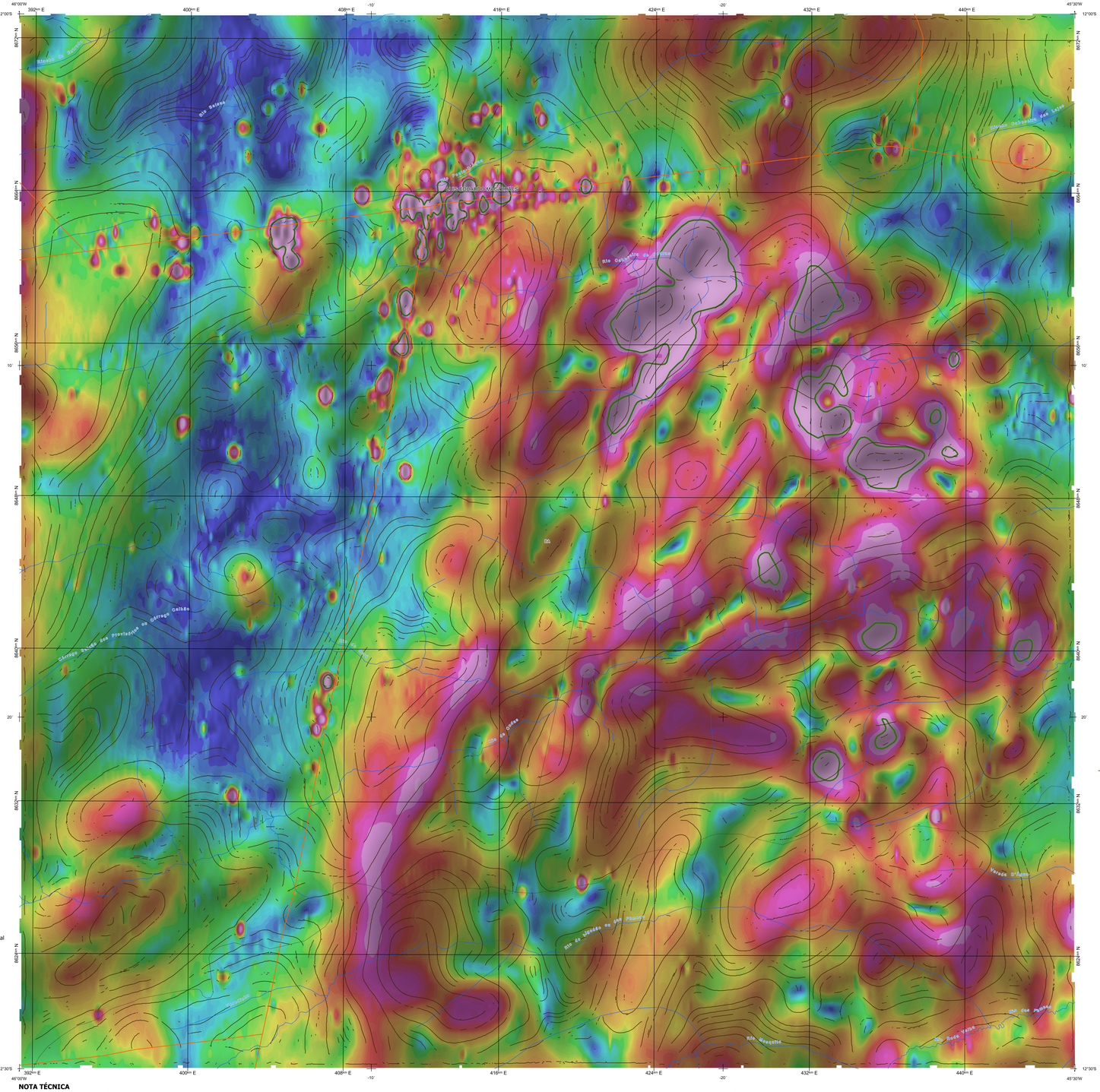
GREENWICH
SIRGAS
392000 E
400000 E
408000 E
416000 E
424000 E
432000 E
440000 E
8672000 N
8664000 N
8656000 N
8648000 N
8640000 N
8632000 N
8624000 N
8616000 N
8608000 N
-15'
-20'
10'
20'
-10'
-20'
12°00'S
12°30'S
46°00'W
45°30'W
Rio Arrojado
Rio Grande
Rio Corrente
Rio Preto
Rio Formoso
Rio Carinhanha
Rio Cocos
Rio Verde Grande
Rio Paratinga
Rio Paramirim
Rio Santo Onofre
Rio Gavião
Rio Brumado
Rio Contas
Rio de Ondas
Rio Paraguaçu
Rio Jequiriçá
Rio Jequitinhonha
Rio Pardo
Rio Verde
Rio Pardo
Rio Peruípe
Rio Mucuri
Rio Preto
Rio Doce
Rio Piracicaba
Rio Santo Antônio
Rio Manhuaçu
Rio Piracicaba
Rio Paraopeba
Rio das Velhas
Rio Paraíbuna
Rio Preto
Rio Paraibuna
Rio Pomba
Rio Muriaé
Rio Paraíba do Sul
Rio Pirapetinga
Rio Preto
Rio Paraíba do Sul
Rio Pirai
Rio Piabanha
Rio Paquequer
Rio Preto
Rio Paraíba do Sul
Rio Piraí
Rio Paraíba do Sul
Rio Bananal
Rio Paraíba do Sul
Rio Barreiro
Rio Paraíba do Sul
Rio Guaratinguetá
Rio Paraíba do Sul
Rio Jacareí
Rio Paraíba do Sul
Rio Buquira
Rio Paraíba do Sul
Rio Jaguari
Rio Paraíba do Sul
Rio Atibaia
Rio Paraíba do Sul
Rio Piracicaba
Rio Paraíba do Sul
Rio Jaguari-Mirim
Rio Paraíba do Sul
Rio Pardo
Rio Paraíba do Sul
Rio Muzambinho
Rio Paraíba do Sul
Rio Sapucaí-Mirim
Rio Paraíba do Sul
Rio Sapucaí
Rio Paraíba do Sul
Rio Verde
Rio Paraíba do Sul
Rio Lambari
Rio Paraíba do Sul
Rio Aiuruoca
Rio Paraíba do Sul
Rio Preto
Rio Paraíba do Sul
Rio Paraibuna
Rio Paraíba do Sul
Rio Preto
Rio Paraíba do Sul
Rio Paraíba do Sul
Rio Paraíba do Sul